



# **Les Jardins du Carrousel à Paris de l'époque Romaine au XVIème siècle:**

## **l'apport des sciences du sol**

**Marnix PIETERS  
Paul VAN OSSEL**

Paris, Mémoire de nos Jardins,  
mardi 8 décembre 2015

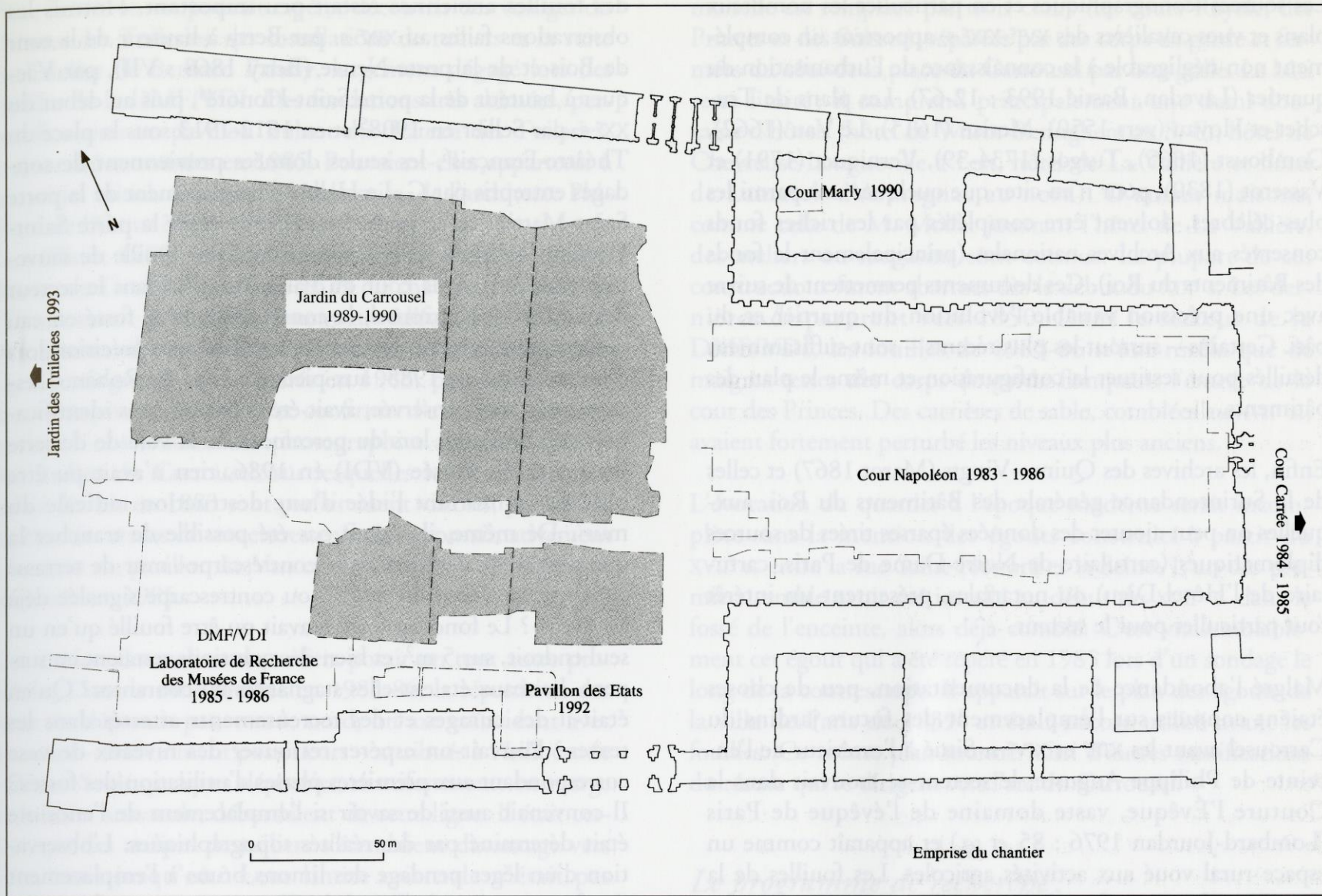
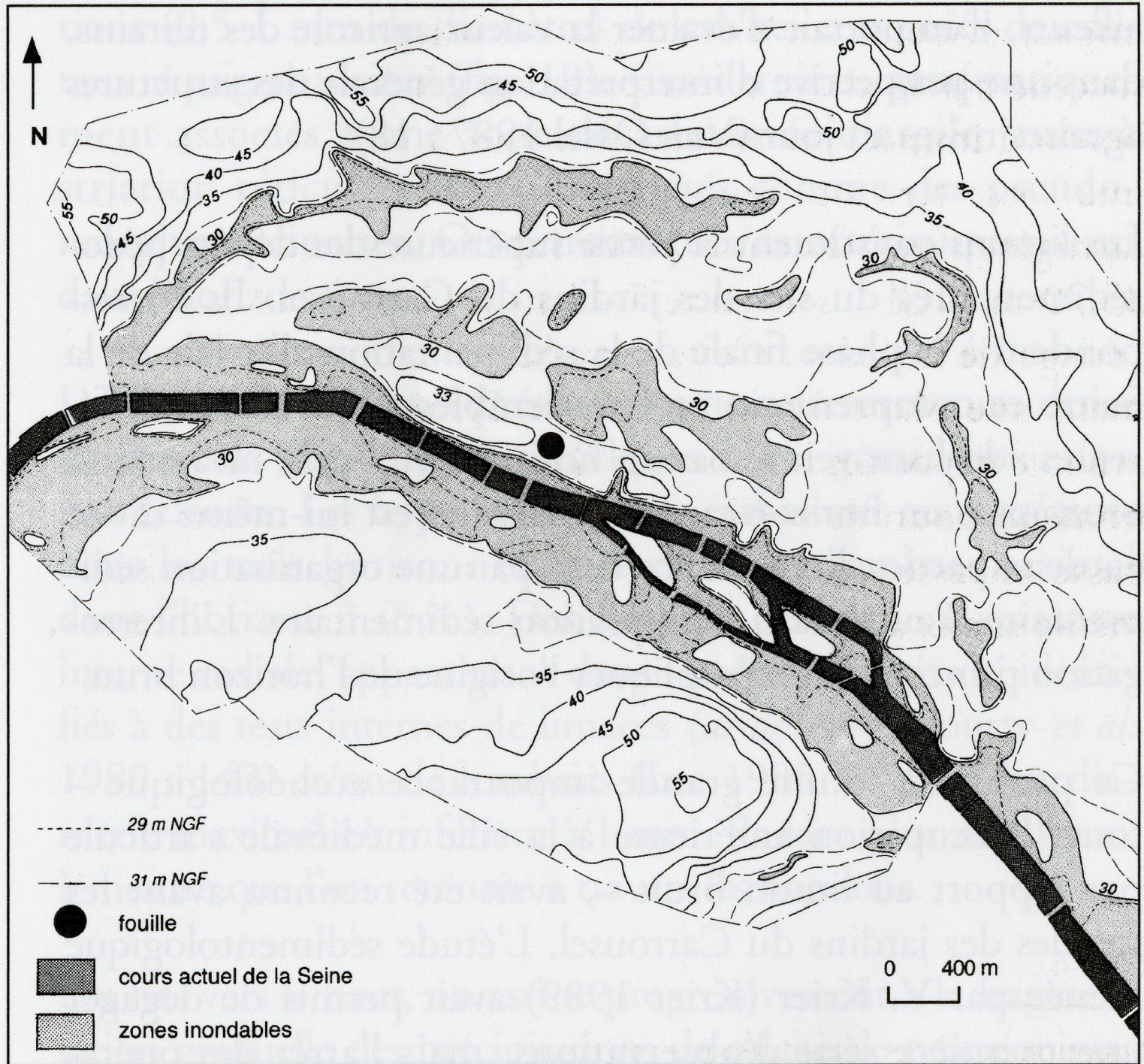


FIG. 2







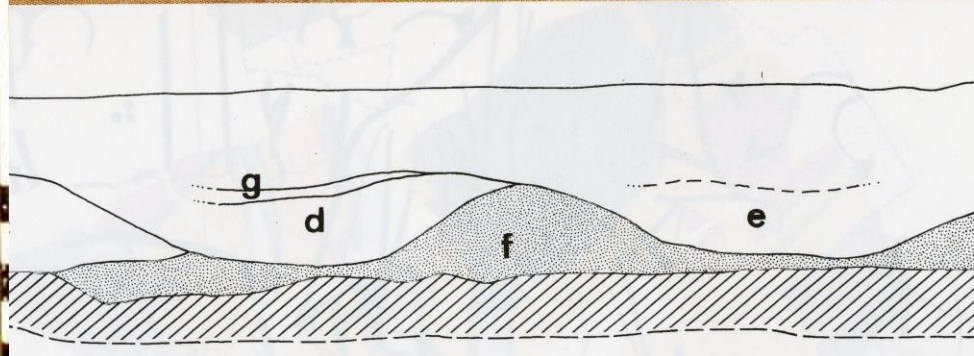




FIG. 39

Plan général des vestiges antiques et du haut Moyen Âge des jardins du Carrousel (fouilles 1989-1991), avec indication des numéros de structures. En tramé, l'emprise de la carrière.

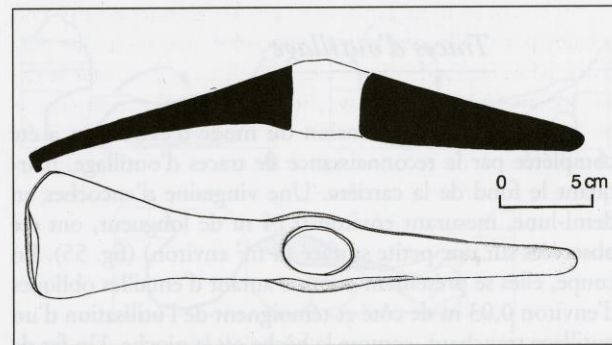
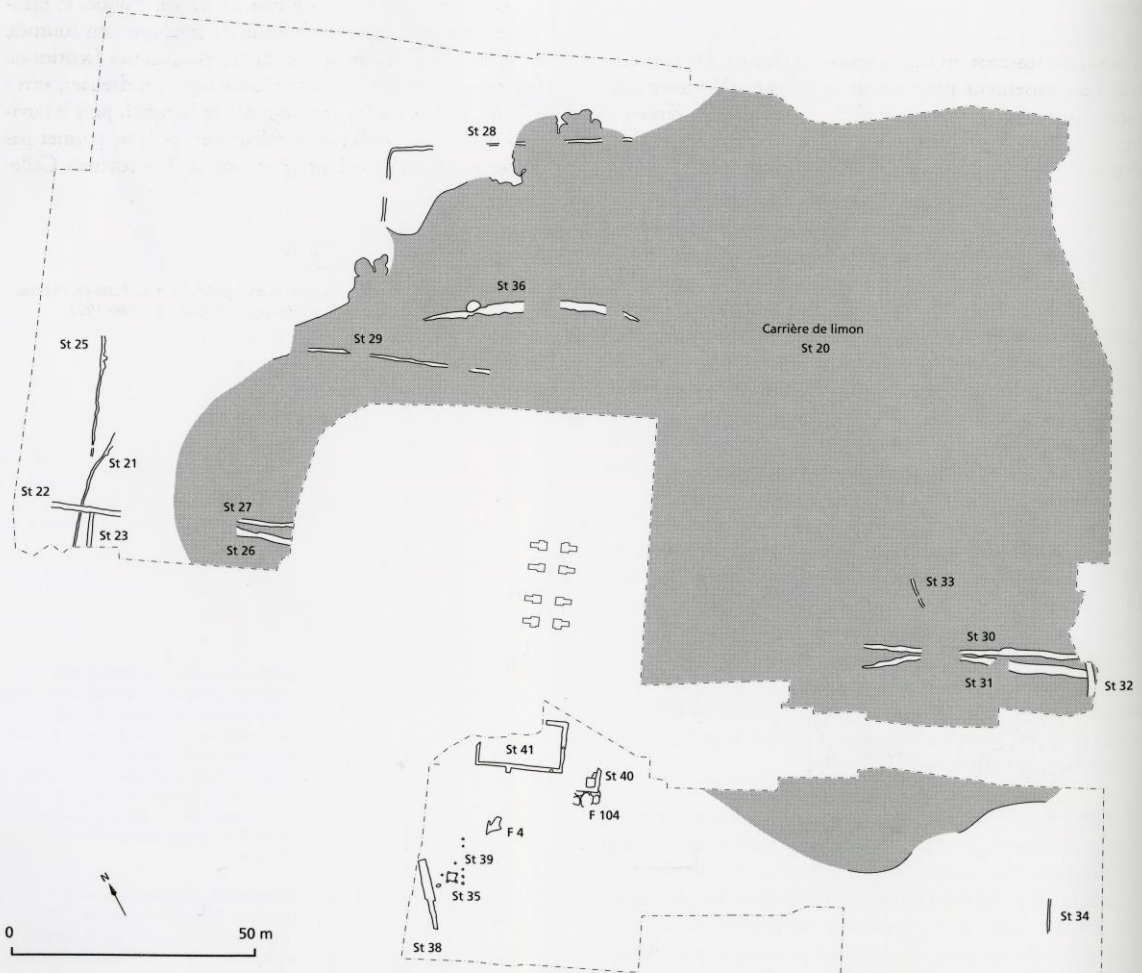
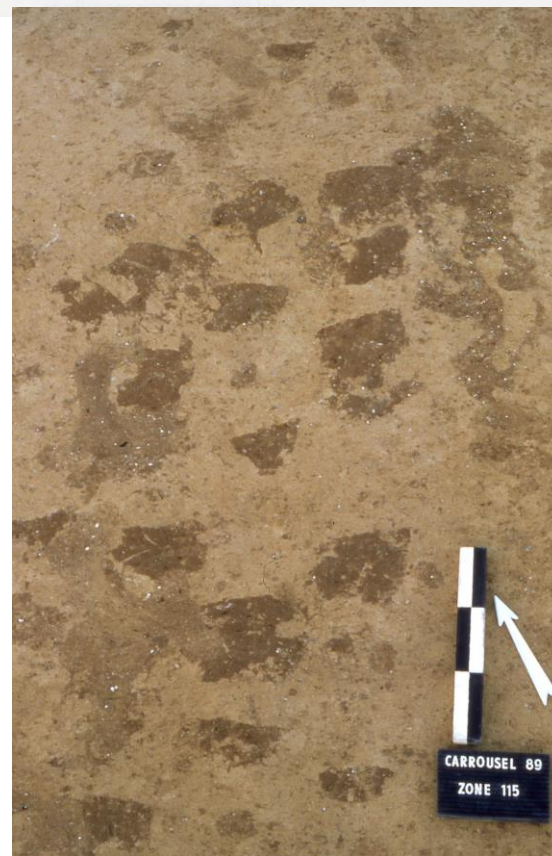


FIG. 56

Fer de pioche retrouvé dans le comblement de la carrière.





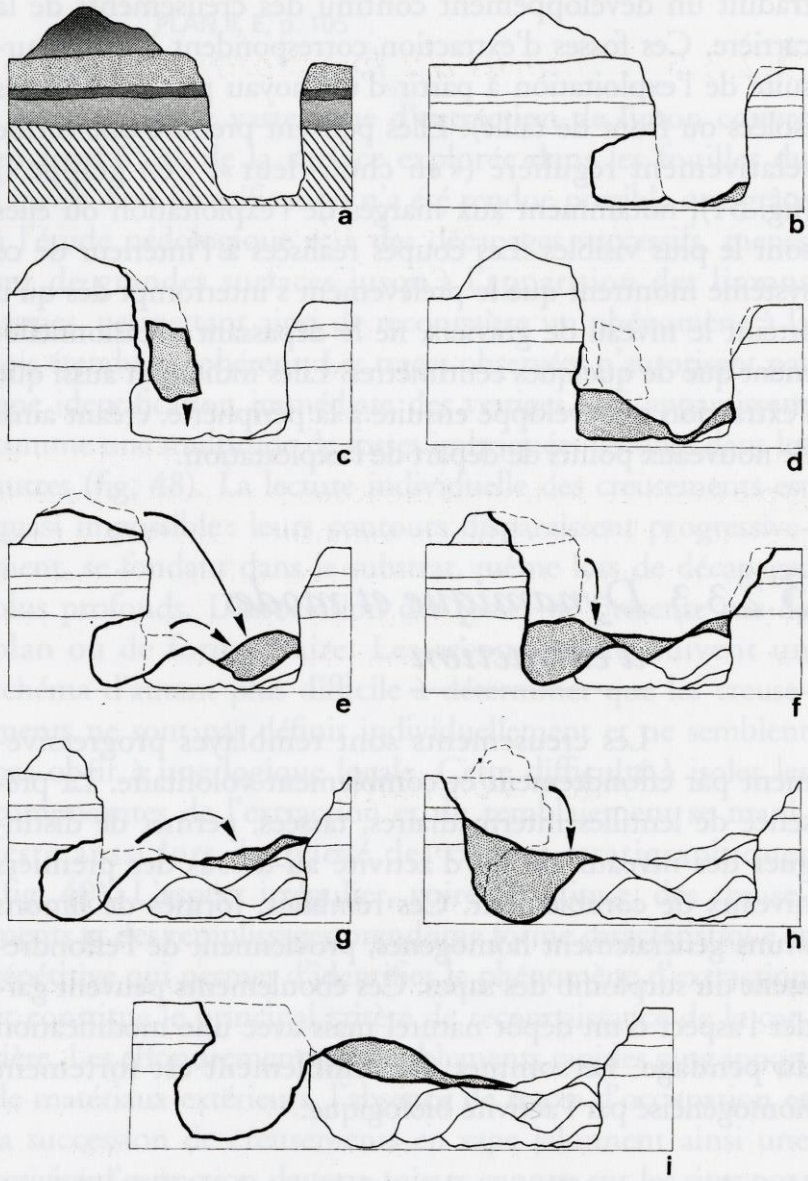
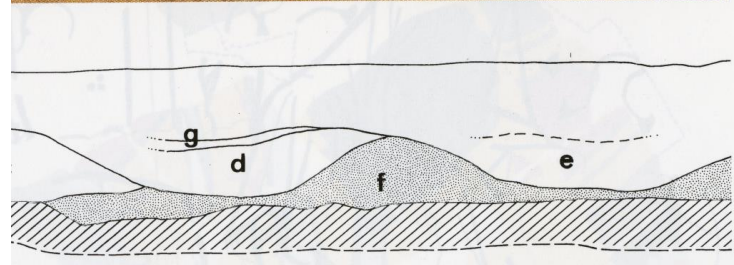


FIG. 53

Schéma d'extraction des limons jaunes dans la carrière : creusements en sape, effondrements et rejets en arrière des déblais.



FIG. 48



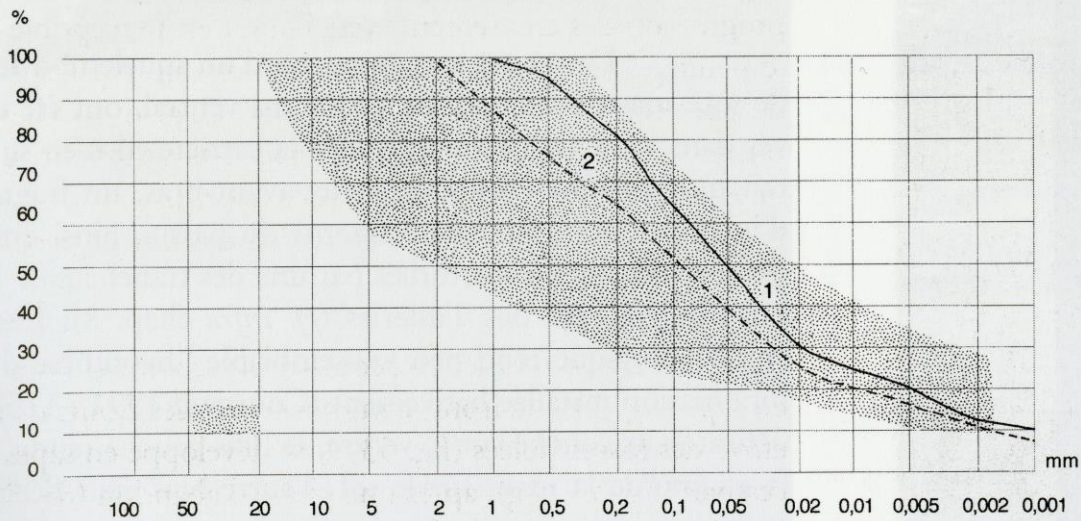


FIG. 54

Comparaison des courbes granulométriques du site des jardins du Carrousel avec le fuseau limite de la brique compressée. **1** courbe granulométrique du limon du site (POP 1-1-5<sup>2</sup>); **2** courbe granulométrique idéale de la brique compressée; **en tramé** fuseau limite de la brique compressée.







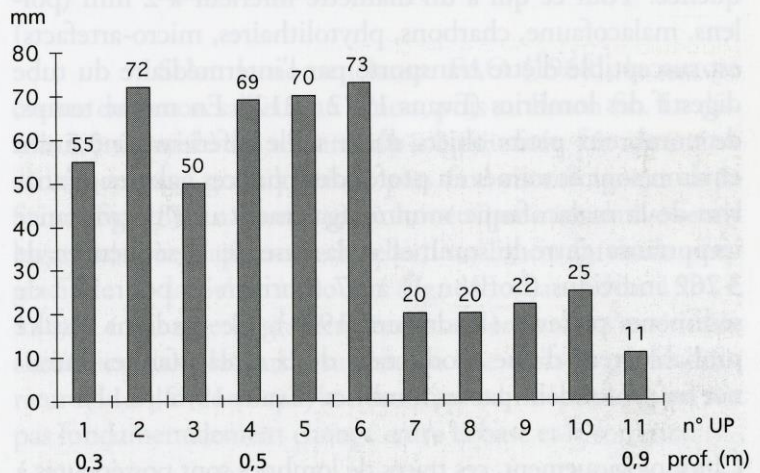


FIG. 13

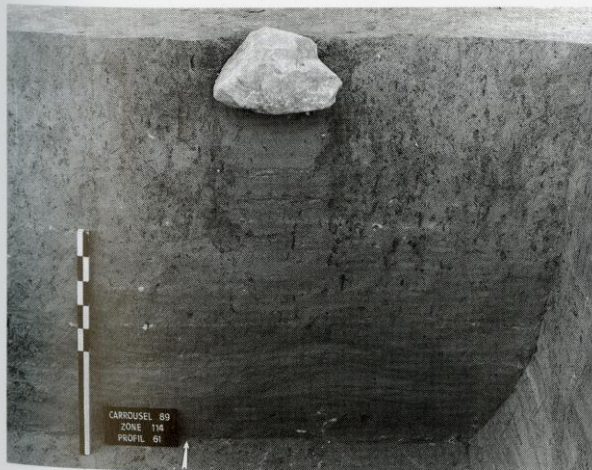
Dimension maximale du tesson le plus grand dans les différentes passes mécaniques.



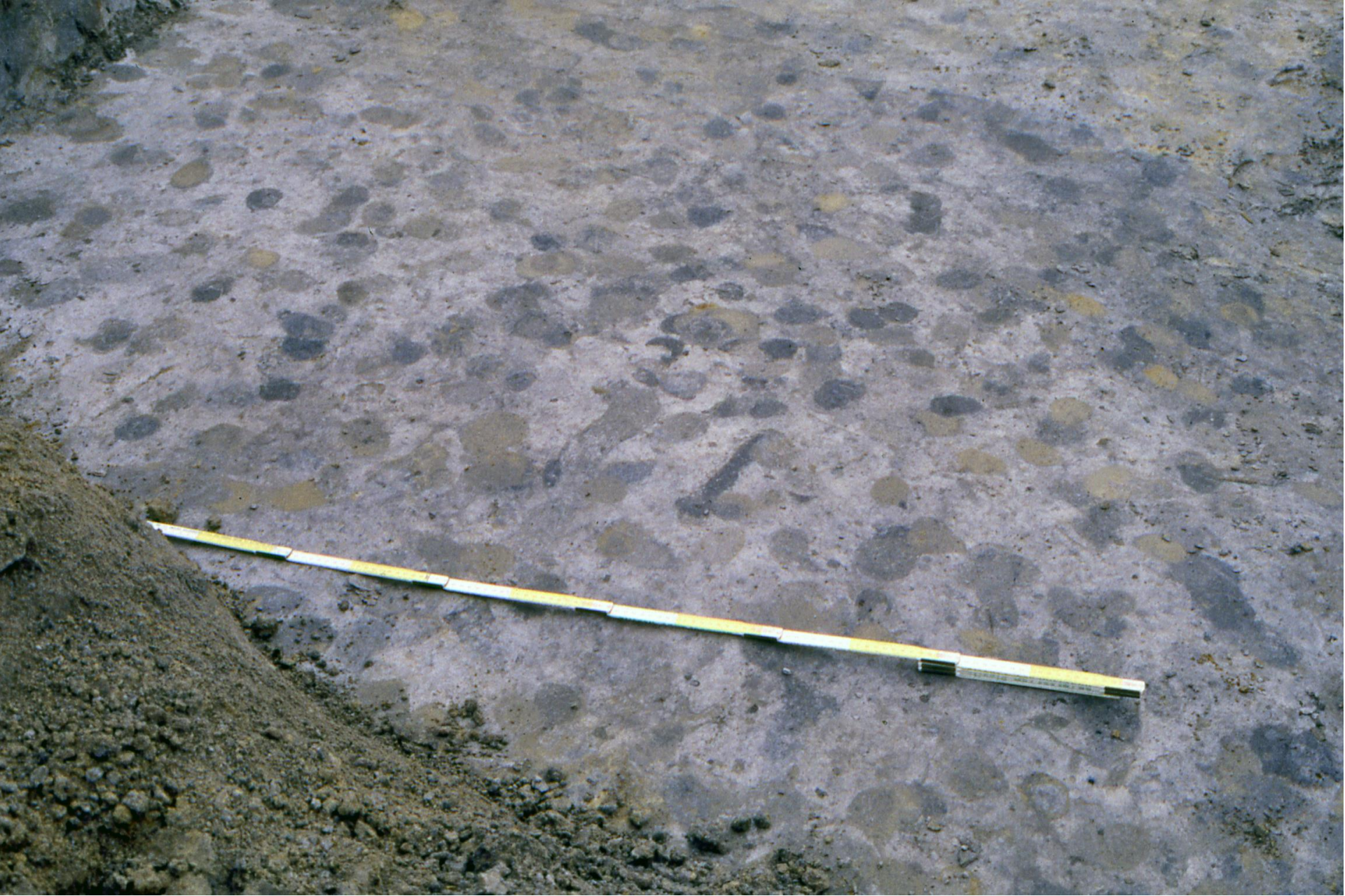


FIG. 16

Pierre erratique retrouvée *in situ* dans le faciès jaune.









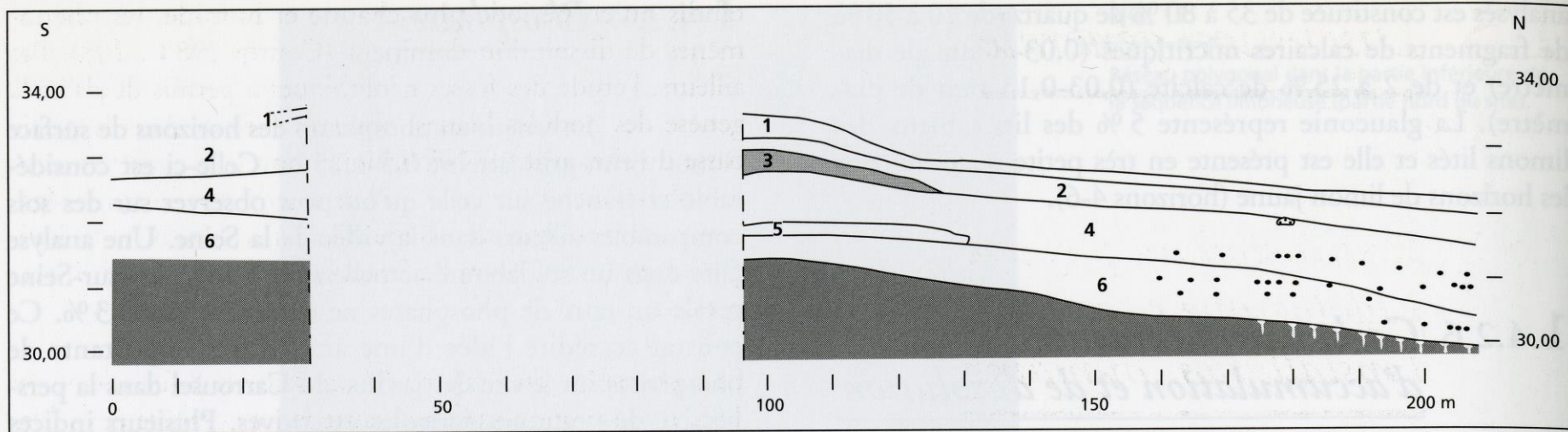


FIG. 21

Coupe schématisée sud-nord des limons non bouleversés.







Vue générale de l'aile septentrionale du château des Tuileries. Projets 1 et 2 de Ph. de l'Orme.  
Les tranchées traversent les parcelles du faubourg.



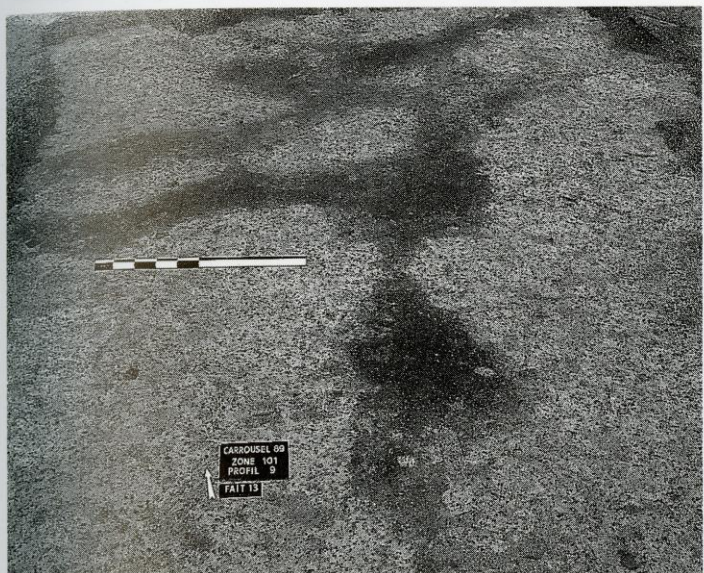


FIG. 15

Galleries de blaireaux.



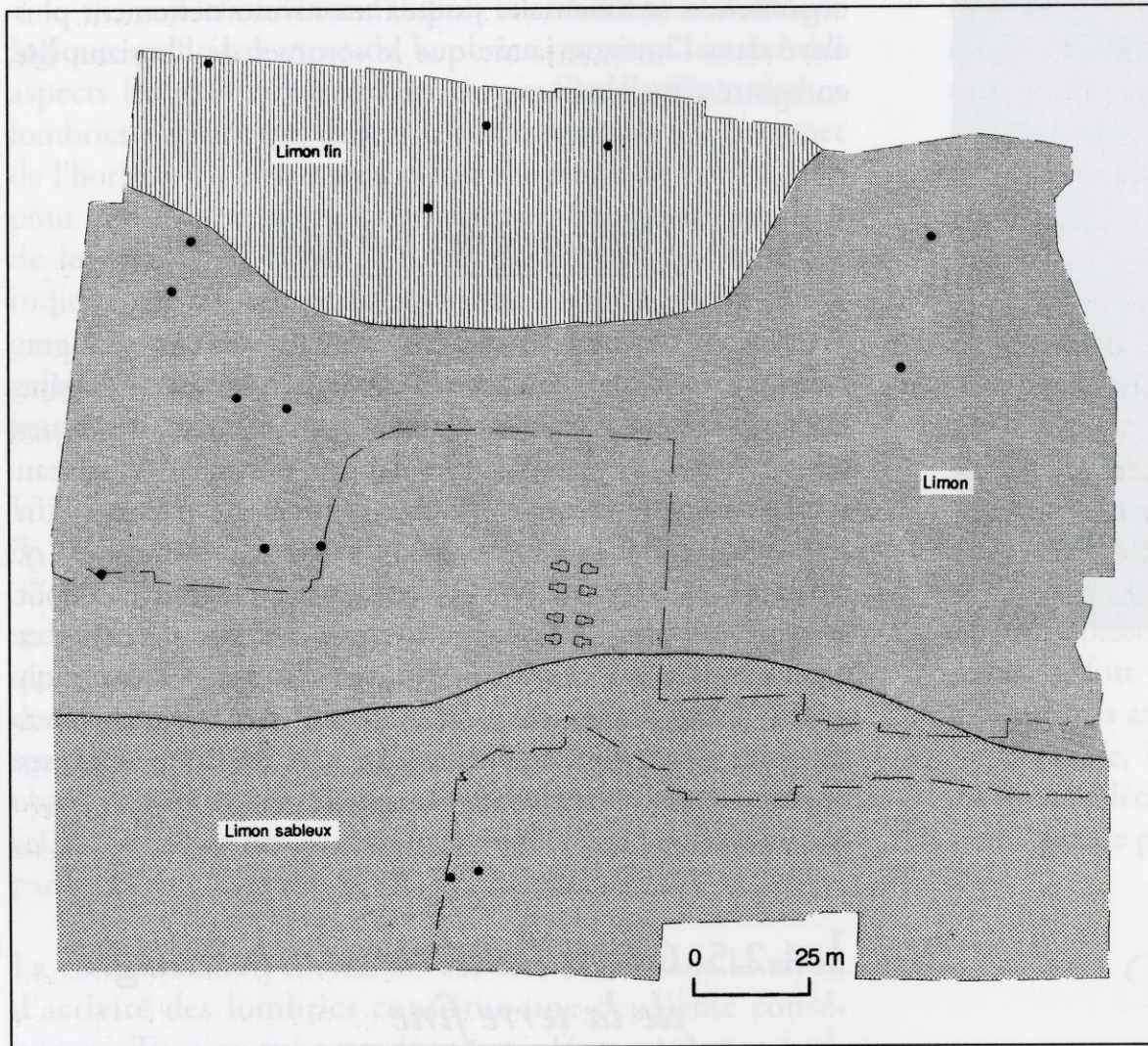


FIG. 18

Textures des faciès limoneux et localisation des points d'observation.



FIG. 9

Microstructure cryogénique en lentille de glace  
(agrandissement 40 x).

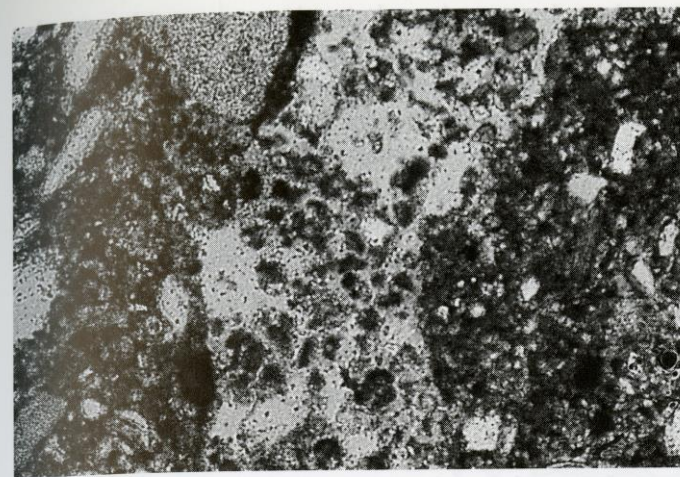
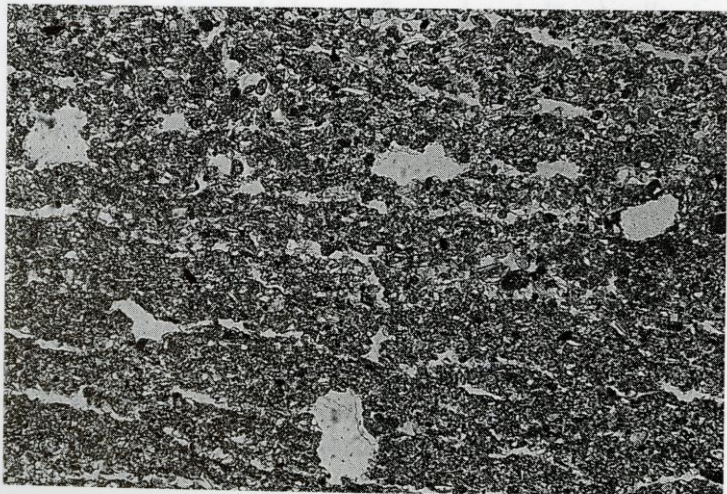


FIG. 11

Microstructure en chenaux (agrandissement  
40 x).

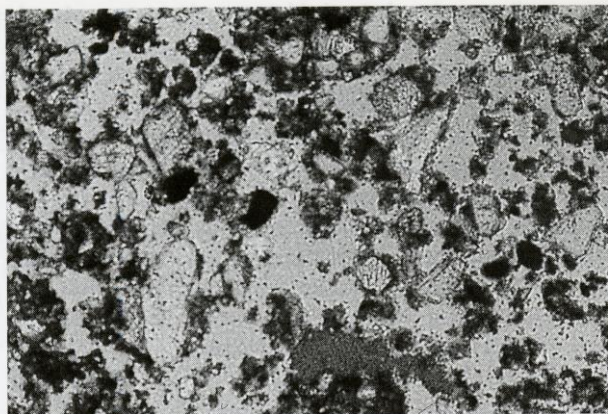


FIG. 12

Microstructure granulaire et grumeleuse  
(agrandissement 40 x).